

III - 3 Sand Waveを伴なう流れの粗度について

九州大学工学部 植 東一郎

○ 沢村 文

水資源公団 野中栄二

1. 流れが限界掃流力をこえて移動床になると、河床には sandwave が形成される。これには形が非対称で流れの方向に進行するいわゆる dune とよばれるものと、形が対称に近く流れと逆方向に進む Anti-dune とよばれるものとの2種類があり、両者の遷移領域として sandwave の消滅した平滑河床があらわれることはよく知られている。このように sandwave が形成されると砂粒の摩擦抵抗の他に凹凸による抵抗が加わり流れは顕著な影響を受ける。とくに sandwave は粗度として流れを規定すると同時にそれ自体が河床砂と水理学的な特性に規定されて発達或いは崩壊するために両者の相互作用は極めて複雑である。

従ってこのような問題を解明するためには (1) 各種 sandwave の発生範囲、(2) sand wave のスケール (波長、波高) と底質、水理量との関係、(3) その粗度とスケールとの関係、などを順次明確にしておくことが必要とされる。このうち (1) については Albertson や杉尾教授が実験結果を整理して、dune, smooth, 及び Anti-dune の発生範囲が、Froude 数と掃流力の無次元表示 $H_{sgd}^{1/2}$ (U_s ; 摩擦速度、 s ; 底質の水半比重、 d ; 粒径) とによって規定されることを見出し、Garde 等はほぼ同様な関係 I/s (I ; 水面勾配) と H/d によって発生範囲がきめられることを示している。また Garde の criterion は著者の一人によって理論的な説明が加えられているのでほぼ解決に近づいたと言えよう。(2) については最近 Yaline が波高 H について次の実験式

$$H/d = \frac{1}{6} \left(1 - \frac{R_{cr}}{R} \right) \quad R_{cr}: 移動限界水深 \quad (1)$$

を提案し、波長 λ については ripple が $\lambda = 1000d$ 、dune については $\lambda = 5d$ と云うきめの簡単な実験式を提案しているにとどまる。しかしながら、上式の波高 H は砂連の発達過程について成立つにしても、重要な崩壊過程には全くふれていないし、波長についても再検討の要が残されている。

最近流砂実験に関連して sandwave の波高、波長の測定結果が特に米国に於て発表されたため、従来の資料とともに観測データーがかなり豊富になったのでこの機会に前記 (2), (3) の問題と流速法則について若干の考査を加えてみたい。

2. Sand Wave のスケール

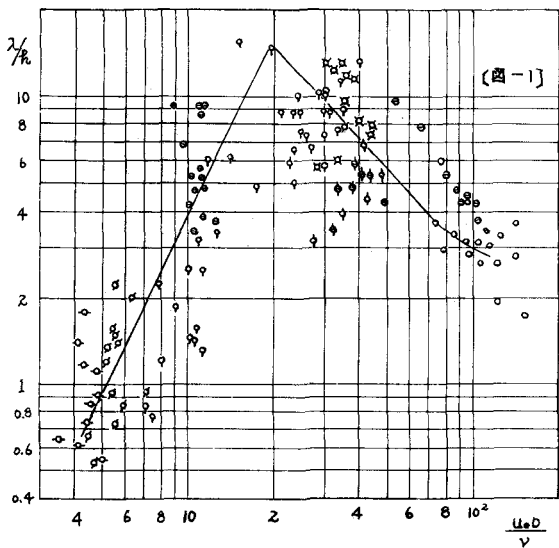
平滑にした砂面に水を流すと直ちに 2 次元的な sandwave が発生し、時間の経過とともに波高が増大する。この間 ripple の場合 2 次元的な wave が 3 次元的な魚鱗形に変形して少くとも波長 λ には大きな変化がみられない。従って波長 λ は移動床に於ても Plane bed と同様な水理条件に規定されると考えられるから、その閾数形として次の式

$$\frac{\lambda}{d} \text{ or } \frac{\lambda}{d} = \phi \left(\frac{u_{ed}}{v}, \frac{h}{d} \right) \quad (2)$$

が予想される。ここに図-1は λ/d roughness Reynolds 数 $\frac{u_{ed}}{v}$ との関係を示したもので $\frac{u_{ed}}{v} = 20$ に於て λ/d は極大値をもつ。また $\frac{u_{ed}}{v} < 20$ の場合 sandwave の形は魚鱗形に近いわゆる ripple とよばれるものであり $\frac{u_{ed}}{v} > 20$ の場合には又次元的に連続した dune とよばれるもので、波長が水深 h に関連づけられるのはこの範囲のものである。

つきに ripple ($\frac{u_{ed}}{v} < 20$) のみを取り上げ λ/d と h/d の関係を求めるに圖-2のようになり Yaline の $\lambda = 1000 d$ に近いが λ/d の値は h/d とともに若干大きくなる傾向がみられる。

つきに sandwave の浪高、波形勾配の無次元表示 H/d 及び H/λ に影響する無次元量には擇流力の無次元表示 $\psi = u_{ed}^2 / g d$ 、流れの Froude 数 $Fr = V / gh$ 、roughness Reynolds 数などがあげられるが流砂量の強度が重要な役割りを持つであろう。従って有効擇流力の無次元表示 $\psi_e = \psi \cdot \frac{g}{F}$ と H/λ との関係をプロットすると圖-3が得られる。



[以下の図に使用する記号]

- 斐伊川及び人工水路 (椿東一郎)
- 椿 東一郎
- ♀ D.B. Simons and E.V. Richardson (0.045)
- ♀ " (0.028)
- E.M. Larsen (0.011)
- " (0.004)
- ◊ Liu (0.069)
- ◊ Lorenz G. Straub (0.069)
- 松 梨 康三郎 (0.077)
- ◊ Peter Ackers (0.016)
- ◊ Barton and Liu (0.018)
- Norman H. Brooks (0.016)
- ⊖ Venoni and Brooks (0.0137)
- △ George N. Nomicos (0.0137)
- × Richard A. Stein (0.04)

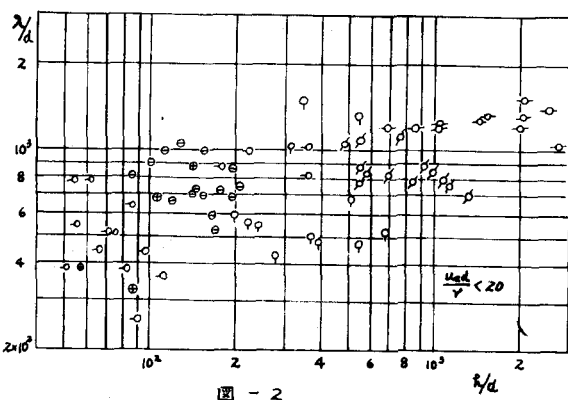


図 - 2

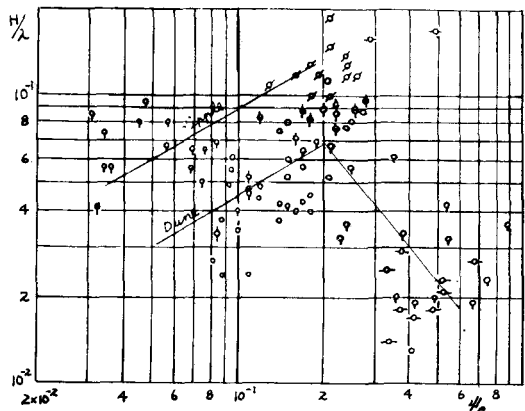


図 - 3

実験値のちらばりはきわめて著るしいが、まず $\eta_0 = 0.2$ 程度に H/λ の極値が認められる。従って限界掃流力をこえて河床に砂連が発生すると、流砂量の強度あるいは倍がますとともに波形勾配は増加して発達過程にある。更に η_0 が大きくなって、更に流砂量の強度が増加すると崩壊過程に入る。ちらばりの原因は sand wave の波高、波長が極めて不規則でその平均値さえ正確に把握することが困難であるとえう実験的な制約に加えて、流れの Froude 数や砂粒 Reynolds 数等の要素も影響をもつことに起因するようと思われる。実際発生領域に於ては ripple は dune に比べて約 2 倍の値をもち砂粒 Reynolds 数の影響を受け、崩壊領域では流れの Froude 数がきいてくるようと思われる。なま H/λ については今のところ適当な表示法を見出していくない。Yaline の関係(1)式は H/λ を d の関数とみなすことと同等であるが、発達領域に限ってもこのような簡単な関係は期待されない。

3. Sand wave による流体抵抗

$$\text{平均流速 } V \text{ を対数公式} \quad \frac{V}{U_*} = 9 = 6.0 + 5.75 \log \frac{f_s}{f_{es}} \quad (3)$$

で表わすとき、相当粗度 f_{es} は河床に形成された sand wave の波高 H 、波長 λ 及び河床砂の粒径 d の関数とみなされる。従って次元的に次の関係

$$\frac{f_s}{H} = f \left(\frac{\lambda}{H}, \frac{\lambda}{d} \right) \quad (4)$$

が期待される。(3)式から f_{es} を逆算し、 η_0/H と λ/H との関係をプロットしたものが図-4である。

砂粒による摩擦抵抗の効果を示す λ/d の影響が入る等のためにちらばりは著るしいけれども、 η_0/H の値は λ/H とともに大きくなり $\lambda/H=16$ に於て極大値をとった後 λ/H の増加とともに減少してゆく。このような傾向は水路底に高さ H の矩形粗度をピッチ入りで並べた又次元粗度の η_0/H の傾向と全く同一であり、 η_0/H の極大の起る λ/H の値もほぼ一致している。

ただ sand wave の圧力抵抗係数が矩形粗度にくらべて小さいため η_0/H の最大値は後者の 4.0~6.0 の値にくらべ前者は 1.5~2.0 程度の値となる。

このようにして圧力抵抗が大きな役割をもつことは明らかであるから、波長間の全抵抗を

圧力抵抗 $\frac{1}{2} f C_x U^2 H$ (C_x ; 抵抗係数、 U ; H の高さに於ける流速) と sand wave の背面にそつ境界層抵抗とにわけ、さらに流速の対数分布式が適用されると仮定すると

$$\tau_0 = \tau' + \frac{1}{2} f C_x \frac{H}{\lambda} V^2 \left[1 + \frac{U_*}{V} (2.5 + 5.75 \log \frac{H}{\lambda}) \right]^2 \quad (5)$$

sand wave の場合 $\frac{U_*}{V} (2.5 + 5.75 \log \frac{H}{\lambda})$ は 1 にくらべて無視出来る程度であるから、近似的に

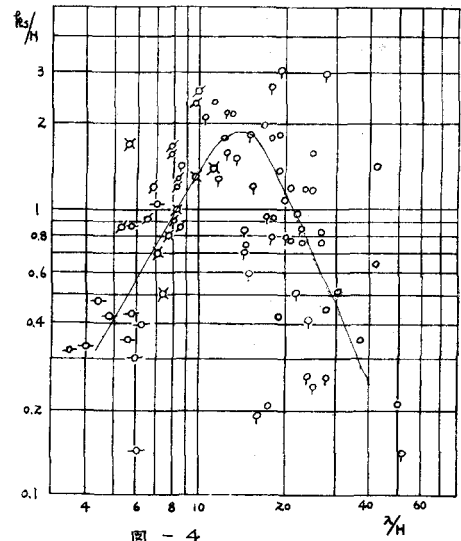


図-4

$$\tau_0 = \tau' + \frac{1}{2} f C_x \frac{H}{\lambda} V^2 \quad (5)$$

とおける。

C_x は sand wave の形及び H/λ の関数である。又 τ' は砂の移動に寄与する有効揚流力であるから、著者の一人が流砂量式をうきめた表現

$$\tau' = \tau_0 \cdot \frac{\varphi}{g_0} \quad g_0 = 6.0 + 5.75 \log \frac{d}{L} \quad (6)$$

を用いると $\frac{1}{\varphi} \sqrt{1 - \frac{\varphi}{g_0}} = \sqrt{\frac{1}{2} C_x \frac{H}{\lambda}}$ (7)

となる。 H/λ は図-3 に示したように主として $\eta_0 = \frac{U_0^2}{sgd} \cdot \frac{\varphi}{g_0}$ によって規定されるから $\sqrt{\frac{1}{2} C_x \frac{H}{\lambda}}$ と η_0 の関係を図-5 に示す。

図-5

ちらばりは非常に著るしいが sand wave の抵抗を表わす $\frac{1}{\varphi} \sqrt{1 - \frac{\varphi}{g_0}}$ は $\eta_0 = 0.2$ に於て極大をもち $\eta_0 < 0.2$ は sand wave の発達過程に、 $\eta_0 > 0.2$ は崩壊過程に対応している。

流砂河川について同様の操作を行なつた結果を図-6 に示しその平均曲線は図-5 中に記してある。

傾向はほぼ同一であるが河川では $\eta_0 = 0.35$ に於て極大が起り河川の sand wave の方が崩壊過程に入り難くその度合も小さいことがわかる。

これはおそらく実験水路に於ける Froude 数が河川のそれより大きいことによると考えているが現在の資料では検討を加える事が出来ない。

